

PLQE

## Un riduttore semplice da montare che assorbe forze elevate con una generazione di calore ridotta

Il nostro riduttore **PLQE** è semplice da montare e performante. Può essere collegato direttamente alla macchina, senza flangia intermedia. I cuscinetti a sfera di maggiori dimensioni montati sull'albero in uscita, permettono l'assorbimento di forze radiali e assiali più elevate. La generazione di calore viene così ridotta e il riduttore è sempre affidabile anche per cicli di lavoro impegnativi.

## Le réducteur planétaire facile à monter, qui absorbe des forces élevées tout en dégageant peu de chaleur

Notre **PLQE** est performant et pas compliqué. Il peut être directement relié à votre installation sans bride entremis. De plus grande taille, les roulements rainurés à billes en sortie permettent d'absorber des forces radiales et axiales plus élevées. Ce faisant, il ne dégage que peu de chaleur et travaille toujours de façon fiable aussi dans les cycles de production sophistiqués.

Coppia nominale  
Couple nominal de sortie **15 - 260 Nm**

Gioco torsionale  
Jeu **7 - 15 arcmin**

Coppia di ribaltamento  
Couple de renversement **37 - 232 Nm**

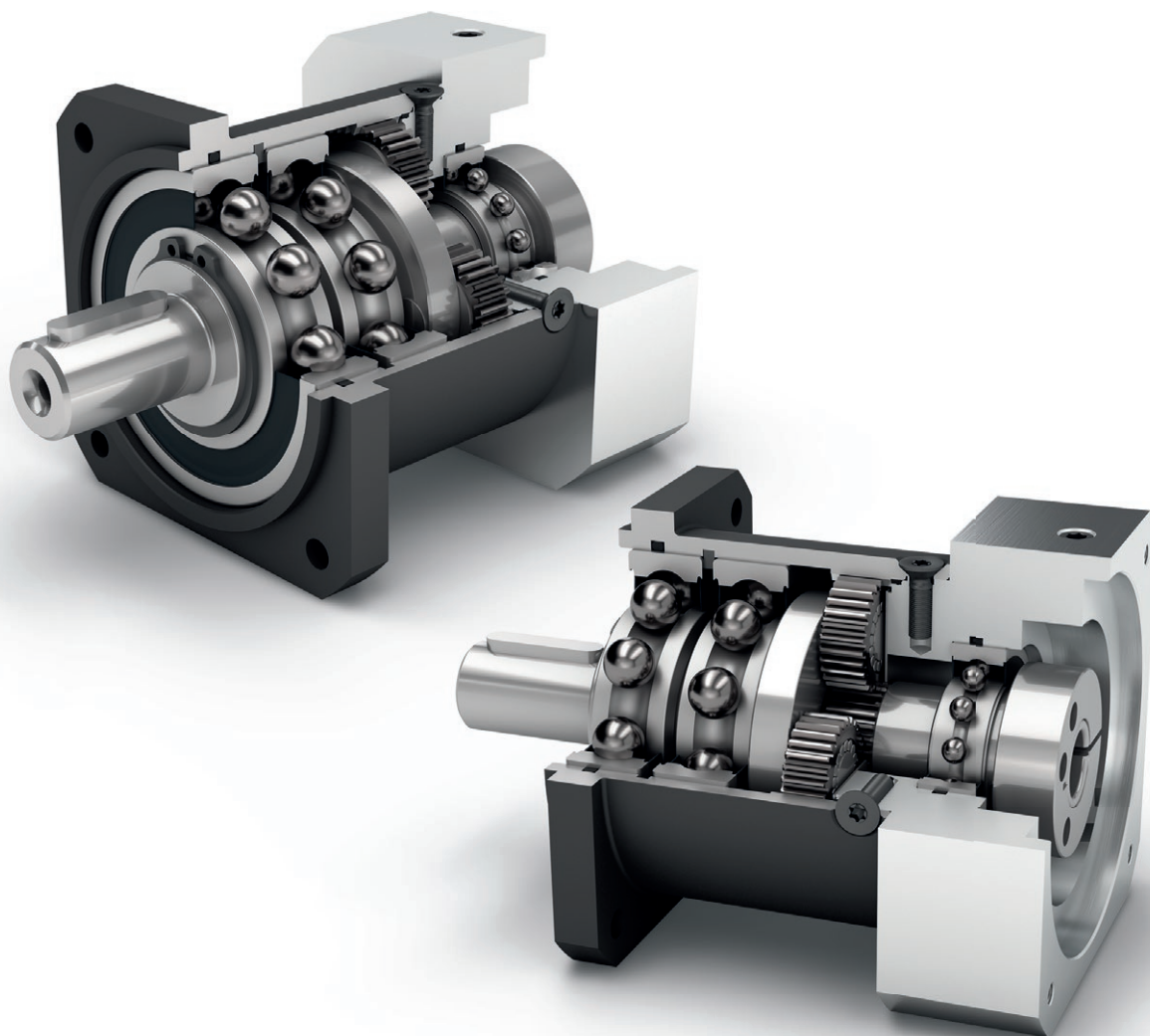
Grado di protezione  
Type de protection **IP54**

Taglie  
Tailles

60

80

120



Economy Line  
Economy Line



Senso di rotazione nella stessa direzione  
Sens de rotation identique



Flangia di uscita quadrata  
Brida de salida cuadrada



Grande varietà di rapporti di riduzione da  $i=3$  a  $i=512$   
Large plage de rapports de démultiplication de  $i=3$  à  $i=512$



Riduttori coassiali  
Réducteur coaxial



A dentatura diritta  
Denture droite



Cuscinetti a sfere rinforzati  
Roulements à billes à gorges renforcés



Portasatelliti in esecuzione a disco  
Porte-satellites en exécution à disque

| Code     | Caratteristiche del riduttore   | Caractéristiques du réducteur   |                  |             | PLQE060   | PLQE080    | PLQE120     | p <sup>(1)</sup> |
|----------|---|---|------------------|-------------|---|------------|-------------|------------------|
|          | Durata (L <sub>10h</sub> )  | Durée de vie (L <sub>10h</sub> )  | t <sub>L</sub>   | h           | 30.000  |            |             |                  |
|          | Rendimento a pieno carico <sup>(2)</sup>  | Rendement à pleine charge <sup>(2)</sup>  | η                | %           | 98  |            |             | 1                |
|          |   |   |                  |             | 97  |            |             | 2                |
|          |   |   |                  |             | 92  |            |             | 3                |
|          | Temperatura di esercizio min.   | Température d'utilisation mini  | T <sub>min</sub> | °C          | -25   |            |             |                  |
|          | Temperatura di esercizio max.   | Température d'utilisation maxi  | T <sub>max</sub> |             | 90  |            |             |                  |
|          | Grado di protezione   | Classe de protection  |                  |             | IP54  |            |             |                  |
| <b>S</b> | Lubrificazione standard   | Lubrifiant standard   |                  |             | Grasso (lubrificazione a vita) / Graisse (lubrification à vie)  |            |             |                  |
| <b>F</b> | Lubrificazione per uso alimentare   | Lubrifiant industrie alimentaire  |                  |             | Grasso (lubrificazione a vita) / Graisse (lubrification à vie)  |            |             |                  |
| <b>L</b> | Lubrificazione per basse temperature <sup>(3)</sup>                               | Lubrifiant basse température <sup>(3)</sup>   |                  |             | Grasso (lubrificazione a vita) / Graisse (lubrification à vie)  |            |             |                  |
|          | Posizione di montaggio  | Position de montage   |                  |             | qualsiasi / toutes  |            |             |                  |
| <b>S</b> | Gioco standard  | Jeu standard  | j <sub>i</sub>   | arcmin      | < 10  | < 7        | < 7         | 1                |
|          |   |   |                  |             | < 12  | < 9        | < 9         | 2                |
|          |   |   |                  |             | < 15  | < 11       | < 11        | 3                |
|          | Rigidità torsionale <sup>(2)</sup>  | Rigidité torsionnelle <sup>(2)</sup>  | C <sub>G</sub>   | Nm / arcmin | 2,8 - 4,0   | 8,5 - 12,6 | 14,0 - 18,5 | 1                |
|          |   |   |                  |             | 3,3 - 4,1   | 9,4 - 13,3 | 15,6 - 19,0 | 2                |
|          |   |   |                  |             | 3,3 - 4,1   | 9,4 - 13,4 | 15,6 - 19,0 | 3                |
|          | Peso del riduttore  | Poids du réducteur  | m <sub>G</sub>   | kg          | 1,1   | 3,2        | 6,6         | 1                |
|          |   |   |                  |             | 1,3   | 3,7        | 8,6         | 2                |
|          |   |   |                  |             | 1,5   | 4,2        | 10,6        | 3                |
| <b>S</b> | Trattamento standard  | Surface standard  |                  |             | Carcassa: Acciaio – trattata a caldo e post-ossidata (nero)<br>Carter : Acier – traité thermique et post-oxydation (noir) |            |             |                  |
|          | Rumorosità <sup>(4)</sup>   | Niveau sonore <sup>(4)</sup>  | Q <sub>G</sub>   | dB(A)       | 58  | 60         | 65          |                  |
|          | Coppia di ribaltamento max sulla flangia in ingresso del riduttore <sup>(5)</sup> | Couple du basculement maxi en fonction de la bride d'entrée du réducteur <sup>(5)</sup> | M <sub>b</sub>   | Nm          | 8   | 16         | 40          |                  |

| Carico sull'albero del riduttore                      | Contrainte de l'arbre de sortie                        |                        |    | PLQE060 | PLQE080 | PLQE120 | p <sup>(1)</sup> |
|---|--|------------------------|----|---------|---------|---------|------------------|
| Forza radiale per 20.000 h <sup>(6)(7)</sup>          | Force radiale pour 20 000 h <sup>(6)(7)</sup>          | F <sub>r20.000 h</sub> | N  | 900     | 2050    | 2950    |                  |
| Forza assiale per 20.000 h <sup>(6)(7)</sup>          | Force axiale pour 20 000 h <sup>(6)(7)</sup>           | F <sub>a20.000 h</sub> |    | 1000    | 2500    | 2500    |                  |
| Forza radiale per 30.000 h <sup>(6)(7)</sup>          | Force radiale pour 30 000 h <sup>(6)(7)</sup>          | F <sub>r30.000 h</sub> |    | 700     | 1700    | 2400    |                  |
| Forza assiale per 30.000 h <sup>(6)(7)</sup>          | Force axiale pour 30 000 h <sup>(6)(7)</sup>           | F <sub>a30.000 h</sub> |    | 800     | 2000    | 2100    |                  |
| Forza radiale massima <sup>(7)(8)</sup>               | Force radiale maximale <sup>(7)(8)</sup>               | F <sub>rStat</sub>     |    | 1500    | 2500    | 4000    |                  |
| Forza assiale massima <sup>(7)(8)</sup>               | Force axiale maximale <sup>(7)(8)</sup>                | F <sub>aStat</sub>     |    | 1950    | 3800    | 3800    |                  |
| Coppia di ribaltamento per 20.000 h <sup>(6)(8)</sup> | Couple de renversement pour 20 000 h <sup>(6)(8)</sup> | M <sub>K20.000 h</sub> | Nm | 37      | 101     | 232     |                  |
| Coppia di ribaltamento per 30.000 h <sup>(6)(8)</sup> | Couple de renversement pour 30 000 h <sup>(6)(8)</sup> | M <sub>K30.000 h</sub> |    | 29      | 84      | 188     |                  |

| Momento d'inerzia                | Moment d'inertie                         |   |                   | PLQE060       | PLQE080       | PLQE120       | p <sup>(1)</sup> |
|----------------------------------|--|---|-------------------|---------------|---------------|---------------|------------------|
| Momento d'inerzia <sup>(2)</sup> | Moment d'inertie de masse <sup>(2)</sup> | J | kgcm <sup>2</sup> | 0,066 - 0,142 | 0,371 - 0,783 | 1,381 - 2,393 | 1                |
|                                  |  |   |                   | 0,066 - 0,123 | 0,366 - 0,625 | 1,414 - 2,292 | 2                |
|                                  |  |   |                   | 0,066 - 0,076 | 0,365 - 0,590 | 1,413 - 2,196 | 3                |

<sup>(1)</sup> Numero stadi riduttore

<sup>(2)</sup> I valori dipendenti dal rapporto di riduzione sono disponibili nel Tec Data Finder sul sito [www.neugart.com](http://www.neugart.com)

<sup>(3)</sup> T<sub>min</sub> = -40°C. Temperatura di esercizio ottimale max. 50°C

<sup>(4)</sup> Livello di rumorosità a 1 m di distanza; misurato ad un nr. di giri pari a n<sub>1</sub>=3000 min<sup>-1</sup> senza carico; i=5

<sup>(5)</sup> Peso motore max\* in kg = 0.2 x M<sub>b</sub> / Lunghezza motore in m  
\* con distribuzione simmetrica della massa del motore  
\* con posizione di montaggio orizzontale e statica

<sup>(6)</sup> I dati si riferiscono a un numero di giri dell'albero di uscita pari a n<sub>2</sub>=100 min<sup>-1</sup>

<sup>(7)</sup> Riferito al centro dell'albero di uscita

<sup>(8)</sup> Valori differenti (parzialmente superiori in caso di variazioni di T<sub>2N</sub>, F<sub>r</sub>, F<sub>a</sub> nonché di ciclo e durata dei cuscinetti. Dimensionamento ottimale per la singola applicazione con NCP – [www.neugart.com](http://www.neugart.com)

<sup>(1)</sup> Nombre d'étage

<sup>(2)</sup> Les différentes valeurs de rapports sont disponibles dans Tec Data Finder à l'adresse – [www.neugart.com](http://www.neugart.com)

<sup>(3)</sup> T<sub>min</sub>=-40°C. Température optimale d'utilisation : 50°C maxi

<sup>(4)</sup> Niveau sonore à une distance de 1 m, mesuré sans charge à une vitesse d'entrée de n<sub>1</sub>=3000 min<sup>-1</sup>; i=5

<sup>(5)</sup> Poids du moteur maxi\* en kg = 0.2 x M<sub>b</sub> / Longueur du moteur en m  
\* Pour une répartition symétrique du poids du moteur

\* Pour une position de montage horizontale et fixe

<sup>(6)</sup> Les valeurs se réfèrent à une vitesse de l'arbre de sortie de n<sub>2</sub>=100 min<sup>-1</sup>

<sup>(7)</sup> S'agissant du centre de l'arbre de sortie

<sup>(8)</sup> Autres valeurs (parfois plus élevées) en cas de modification sur T<sub>2N</sub>, F<sub>r</sub>, F<sub>a</sub>, cycle et durée de vie. Configuration spécifique à l'application avec NCP – [www.neugart.com](http://www.neugart.com)

| Coppia in uscita                            | Couples de sortie                          |            |     | PLQE060 | PLQE080 | PLQE120 | $i^{(1)}$ | $p^{(2)}$ |
|---|--|------------|-----|---------|---------|---------|-----------|-----------|
| Coppia nominale in uscita <sup>(3)(4)</sup> | Couple de sortie nominal <sup>(3)(4)</sup> | $T_{2N}$   | Nm  | 28      | 85      | 115     | 3         | 1         |
|   |  |            |     | 38      | 115     | 155     | 4         |           |
|   |  |            |     | 40      | 110     | 195     | 5         |           |
|   |  |            |     | 25      | 65      | 135     | 7         |           |
|   |  |            |     | 18      | 50      | 120     | 8         |           |
|   |  |            |     | 15      | 38      | 95      | 10        |           |
|   |  |            |     | 44      | 130     | 210     | 9         | 2         |
|   |  |            |     | 44      | 120     | 260     | 12        |           |
|   |  |            |     | 44      | 110     | 230     | 15        |           |
|   |  |            |     | 44      | 120     | 260     | 16        |           |
|   |  |            |     | 44      | 120     | 260     | 20        |           |
|   |  |            |     | 40      | 110     | 230     | 25        |           |
|   |  |            |     | 44      | 120     | 260     | 32        | 3         |
|   |  |            |     | 40      | 110     | 230     | 40        |           |
|   |  |            |     | 18      | 50      | 120     | 64        |           |
|   |  |            |     | 44      | 110     | 260     | 60        |           |
|   |  |            |     | 44      | 120     | 260     | 80        |           |
|   |  |            |     | 44      | 120     | 260     | 100       |           |
|   |  |            |     | 44      | 110     | 230     | 120       | 3         |
|   |  |            |     | 44      | 120     | 260     | 160       |           |
|   |  |            |     | 40      | 110     | 230     | 200       |           |
| 44  | 120  | 260        | 256 |         |         |         |           |           |
| 40  | 110  | 230        | 320 |         |         |         |           |           |
| 18  | 50   | 120        | 512 |         |         |         |           |           |
| Coppia in uscita max. <sup>(4)(5)</sup>     | Couple de sortie maxi <sup>(4)(5)</sup>    | $T_{2max}$ | Nm  | 45      | 136     | 184     | 3         | 1         |
|   |  |            |     | 61      | 184     | 248     | 4         |           |
|   |  |            |     | 64      | 176     | 312     | 5         |           |
|   |  |            |     | 40      | 104     | 216     | 7         |           |
|   |  |            |     | 29      | 80      | 192     | 8         |           |
|   |  |            |     | 24      | 61      | 152     | 10        |           |
|   |  |            |     | 70      | 208     | 336     | 9         | 2         |
|   |  |            |     | 70      | 192     | 416     | 12        |           |
|   |  |            |     | 70      | 176     | 368     | 15        |           |
|   |  |            |     | 70      | 192     | 416     | 16        |           |
|   |  |            |     | 70      | 192     | 416     | 20        |           |
|   |  |            |     | 64      | 176     | 368     | 25        |           |
|   |  |            |     | 70      | 192     | 416     | 32        | 3         |
|   |  |            |     | 64      | 176     | 368     | 40        |           |
|   |  |            |     | 29      | 80      | 192     | 64        |           |
|   |  |            |     | 70      | 176     | 416     | 60        |           |
|   |  |            |     | 70      | 192     | 416     | 80        |           |
|   |  |            |     | 70      | 192     | 416     | 100       |           |
|   |  |            |     | 70      | 176     | 368     | 120       | 3         |
|   |  |            |     | 70      | 192     | 416     | 160       |           |
|   |  |            |     | 64      | 176     | 368     | 200       |           |
| 70  | 192  | 416        | 256 |         |         |         |           |           |
| 64  | 176  | 368        | 320 |         |         |         |           |           |
| 29  | 80   | 192        | 512 |         |         |         |           |           |

PLQE

<sup>(1)</sup> Rapporto di riduzione ( $i=n_1/n_2$ )

<sup>(2)</sup> Numero stadi riduttore

<sup>(3)</sup> Dimensionamento ottimale per la singola applicazione con NCP – [www.neugart.com](http://www.neugart.com)

<sup>(4)</sup> Valori riferiti a riduttore con chiavetta (codice „A“) per carico intermittente

<sup>(5)</sup> Consentito per 30.000 giri dell'albero di uscita; vedi pagina 142

<sup>(1)</sup> Rapports ( $i=n_1/n_2$ )

<sup>(2)</sup> Nombre d'étage

<sup>(3)</sup> Configuration spécifique à l'application avec NCP – [www.neugart.com](http://www.neugart.com)

<sup>(4)</sup> Valeurs pour rainure de clavette (code « A ») : pour charge dynamique

<sup>(5)</sup> Admis pour 30 000 rotations de l'arbre de sortie ; voir page 143

| Coppia in uscita                   | Couples de sortie                       |             |    | PLQE060 | PLQE080 | PLQE120 | $i^{(1)}$ | $p^{(2)}$ |
|------------------------------------|---|-------------|----|---------|---------|---------|-----------|-----------|
| Coppia di emergenza <sup>(3)</sup> | Couple d'arrêt d'urgence <sup>(3)</sup> | $T_{2Stop}$ | Nm | 66      | 180     | 390     | 3         | 1         |
|                                    |   |             |    | 88      | 240     | 520     | 4         |           |
|                                    |   |             |    | 80      | 220     | 500     | 5         |           |
|                                    |   |             |    | 80      | 178     | 340     | 7         |           |
|                                    |   |             |    | 80      | 190     | 380     | 8         |           |
|                                    |   |             |    | 80      | 200     | 480     | 10        |           |
|                                    |   |             |    | 88      | 260     | 500     | 9         | 2         |
|                                    |   |             |    | 88      | 240     | 520     | 12        |           |
|                                    |   |             |    | 88      | 220     | 500     | 15        |           |
|                                    |   |             |    | 88      | 240     | 520     | 16        |           |
|                                    |   |             |    | 88      | 240     | 520     | 20        |           |
|                                    |   |             |    | 80      | 220     | 500     | 25        |           |
|                                    |   |             |    | 88      | 240     | 520     | 32        | 3         |
|                                    |   |             |    | 80      | 220     | 500     | 40        |           |
|                                    |   |             |    | 80      | 190     | 380     | 64        |           |
|                                    |   |             |    | 88      | 220     | 520     | 60        |           |
|                                    |   |             |    | 88      | 240     | 520     | 80        |           |
|                                    |   |             |    | 88      | 240     | 520     | 100       |           |
|                                    |   |             |    | 88      | 220     | 500     | 120       | 3         |
|                                    |   |             |    | 88      | 240     | 520     | 160       |           |
|                                    |   |             |    | 80      | 220     | 500     | 200       |           |
|                                    |   |             |    | 88      | 240     | 520     | 256       |           |
|                                    |   |             |    | 80      | 220     | 500     | 320       |           |
|                                    |   |             |    | 80      | 190     | 380     | 512       |           |

| Velocità in ingresso   | Vitesses d'entrée   |              |            | PLQE060             | PLQE080             | PLQE120             | $i^{(1)}$ | $p^{(2)}$ |
|--|---|--------------|------------|---------------------|---------------------|---------------------|-----------|-----------|
| Velocità media in ingresso per $T_{2N}$ in S1 per temperatura max consentita <sup>(4)(5)</sup> | Vitesse d'entrée thermique moyenne à $T_{2N}$ et S1 <sup>(4)(5)</sup> | $n_{1N}$     | $min^{-1}$ | 4500 <sup>(6)</sup> | 3400 <sup>(6)</sup> | 3400 <sup>(6)</sup> | 3         | 1         |
|  |   |              |            | 4500 <sup>(6)</sup> | 3450 <sup>(6)</sup> | 3500 <sup>(6)</sup> | 4         |           |
|  |   |              |            | 4500                | 4000 <sup>(6)</sup> | 3500 <sup>(6)</sup> | 5         |           |
|  |   |              |            | 4500                | 4000                | 3500                | 7         |           |
|  |   |              |            | 4500                | 4000                | 3500                | 8         |           |
|  |   |              |            | 4500                | 4000                | 3500                | 10        |           |
|  |   |              |            | 4500                | 4000 <sup>(6)</sup> | 3500 <sup>(6)</sup> | 9         | 2         |
|  |   |              |            | 4500                | 4000 <sup>(6)</sup> | 3500 <sup>(6)</sup> | 12        |           |
|  |   |              |            | 4500                | 4000                | 3500 <sup>(6)</sup> | 15        |           |
|  |   |              |            | 4500                | 4000                | 3500 <sup>(6)</sup> | 16        |           |
|  |   |              |            | 4500                | 4000                | 3500                | 20        |           |
|  |   |              |            | 4500                | 4000                | 3500                | 25        |           |
|  |   |              |            | 4500                | 4000                | 3500                | 32        | 3         |
|  |   |              |            | 4500                | 4000                | 3500                | 40        |           |
|  |   |              |            | 4500                | 4000                | 3500                | 64        |           |
|  |   |              |            | 4500                | 4000                | 3500                | 60        |           |
|  |   |              |            | 4500                | 4000                | 3500                | 80        |           |
|  |   |              |            | 4500                | 4000                | 3500                | 100       |           |
|  |   |              |            | 4500                | 4000                | 3500                | 120       | 3         |
|  |   |              |            | 4500                | 4000                | 3500                | 160       |           |
|  |   |              |            | 4500                | 4000                | 3500                | 200       |           |
|  |   |              |            | 4500                | 4000                | 3500                | 256       |           |
|  |   |              |            | 4500                | 4000                | 3500                | 320       |           |
|  |   |              |            | 4500                | 4000                | 3500                | 512       |           |
| Velocità max in ingresso <sup>(4)</sup>  | Vitesse d'entrée mécanique maxi <sup>(4)</sup>                        | $n_{1Limit}$ | $min^{-1}$ | 13000               | 7000                | 6500                |           |           |

<sup>(1)</sup> Rapporto di riduzione ( $i=n_1/n_2$ )

<sup>(2)</sup> Numero stadi riduttore

<sup>(3)</sup> Ammesso 1000 volte

<sup>(4)</sup> Dimensionamento ottimale della applicazione con NCP – [www.neugart.com](http://www.neugart.com)

<sup>(5)</sup> Per la definizione vedere pagina 142

<sup>(6)</sup> Velocità media termica all'ingresso al 50% T<sub>2N</sub> e S1 per temperatura max consentita

<sup>(1)</sup> Rappports ( $i=n_1/n_2$ )

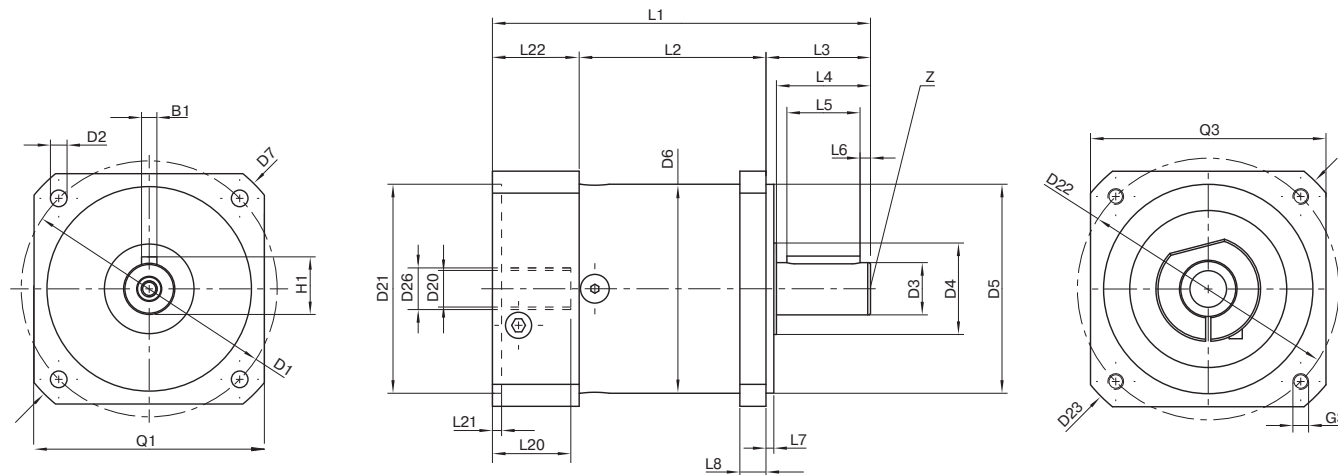
<sup>(2)</sup> Nombre d'étage

<sup>(3)</sup> Admis pour 1000 fois

<sup>(4)</sup> Configuration de vitesse spécifique à l'application avec NCP – [www.neugart.com](http://www.neugart.com)

<sup>(5)</sup> Voir page 143 pour la définition

<sup>(6)</sup> Vitesse d'entrée thermique moyenne à 50% T<sub>2N</sub> et S1



I dati corrispondono ad un PLQE080 / monostadio / Albero di uscita con chiavetta / 19 mm Calettatore / Accoppiamento motore – flangia singola / B5 Tipo di flangia motore  
 La description correspond à un PLQE080 / à un étage / Arbre de sortie avec rainure de clavette / 19 mm Système de blocage / Adaptation moteur – Une pièce / B5 Moteur à bride  
 Tutte le altre varianti sono disponibili nel Tec Data Finder sul sito [www.neugart.com](http://www.neugart.com) – Toutes les autres variantes sont disponibles dans Tec Data Finder à l'adresse [www.neugart.com](http://www.neugart.com)

| Geometria <sup>(1)</sup>                    | Géométrie <sup>(1)</sup>                              |     |    | PLQE060   | PLQE080  | PLQE120  | z <sup>(2)</sup> | Code |
|---|---|-----|----|---|----------|----------|------------------|------|
| Diametro primitivo fori in uscita           | Diamètre d'implantation des trous en sortie           | D1  |    | 75  | 100      | 130      |                  |      |
| Foro di montaggio in uscita                 | Perçage montage en sortie                             | D2  | 4x | 5,5   | 6,5      | 8,5      |                  |      |
| Diametro albero in uscita                   | Diamètre de l'arbre de sortie                         | D3  | h7 | 16  | 20       | 25       |                  |      |
| Diametro di centraggio in uscita            | Longueur de l'arbre de sortie                         | D4  |    | 20  | 35       | 35       |                  |      |
| Diametro centraggio in uscita               | Diamètre de centrage en sortie                        | D5  | h7 | 60  | 80       | 110      |                  |      |
| Diametro carcassa                           | Diamètre du carter                                    | D6  |    | 60  | 80       | 115      |                  |      |
| Dimensione diagonale In uscita              | Dimension diagonale en sortie                         | D7  |    | 92  | 116      | 145      |                  |      |
| Sezione flangia di uscita                   | Section transversale de la bride en sortie            | Q1  | ■  | 70  | 90       | 115      |                  |      |
| Lunghezza totale minima                     | Longueur hors tout min.                               | L1  |    | 111   | 145      | 201,5    | 1                |      |
|   |   |     |    | 123,5   | 162,5    | 229,5    | 2                |      |
|   |   |     |    | 136   | 180      | 257      | 3                |      |
| Lunghezza carcassa                          | Longueur du carter                                    | L2  |    | 55  | 71,5     | 99       | 1                |      |
|   |   |     |    | 67,5  | 89       | 127      | 2                |      |
|   |   |     |    | 80  | 106,5    | 154,5    | 3                |      |
| Lunghezza albero in uscita                  | Longueur de l'arbre en sortie                         | L3  |    | 32  | 40       | 55       |                  |      |
| Profondità centraggio in uscita             | Profondeur du centrage en sortie                      | L7  |    | 3   | 3        | 4        |                  |      |
| Spessore flangia in uscita                  | Épaisseur de la bride en sortie                       | L8  |    | 10  | 10       | 15       |                  |      |
| Diametro calettatore in ingresso            | Diamètre d'implantation des trous en entrée           | D26 |    | Ulteriori informazioni sono riportate a pagina 131<br>Pour en savoir plus, rendez-vous à la page 131  |          |          |                  |      |
| Diametro albero motore j6/k6                | Diamètre de l'arbre moteur j6/k6                      | D20 |    | Le dimensioni variano a seconda della flangia motore/riduttore.<br>Le caractéristiques de la flange moteur possono essere richiamate in modo mirato nel Tec Data Finder su <a href="http://www.neugart.com">www.neugart.com</a><br><br>Les mesures varient avec la bride du moteur/du réducteur.<br>Les géométries de la bride d'entrée sont disponibles pour chaque moteur dans Tec Data Finder à l'adresse <a href="http://www.neugart.com">www.neugart.com</a> |          |          |                  |      |
| Lunghezza max. ammissibile albero motore    | Longueur maxi autorisée de l'arbre moteur             | L20 |    |   |          |          |                  |      |
| Lunghezza min. ammissibile albero motore    | Longueur mini autorisée de l'arbre moteur             |     |    |   |          |          |                  |      |
| Diametro centraggio in ingresso             | Diamètre de centrage en entrée                        | D21 |    |   |          |          |                  |      |
| Profondità centraggio in ingresso           | Profondeur du centrage en entrée                      | L21 |    |   |          |          |                  |      |
| Diametro primitivo fori fissaggio motore    | Diamètre d'implantation des trous en entrée           | D22 |    |   |          |          |                  |      |
| Lunghezza flangia motore                    | Longueur de la bride du moteur                        | L22 |    |   |          |          |                  |      |
| Dimensione diagonale in entrata             | Dimension diagonale en entrée                         | D23 |    |   |          |          |                  |      |
| Filettatura x profondità                    | Trous de fixation x profondeur                        | G3  | 4x |   |          |          |                  |      |
| Sezione trasversale flangia in ingresso     | Section transversale de la bride en entrée            | Q3  | ■  |   |          |          |                  |      |
| Albero di uscita con chiavetta (DIN 6885-1) | Arbre de sortie avec rainure de clavette (DIN 6885-1) |     |    | A 5x5x20  | A 6x6x28 | A 8x7x40 |                  | A    |
| Larghezza chiavetta (DIN 6885-1)            | Largeur de la rainure de clavette (DIN 6885-1)        | B1  |    | 5   | 6        | 8        |                  |      |
| Altezza albero con chiavetta (DIN 6885-1)   | Hauteur de l'arbre avec clavette (DIN 6885-1)         | H1  |    | 18  | 22,5     | 28       |                  |      |
| Lunghezza albero fino allo spallamento      | Longueur de l'arbre à partir de l'épaulement          | L4  |    | 28  | 36       | 50       |                  |      |
| Lunghezza chiavetta                         | Longueur de la rainure de clavette                    | L5  |    | 20  | 28       | 40       |                  |      |
| Distanza da estremità albero                | Distance à partir de l'extrémité de l'arbre           | L6  |    | 4   | 4        | 5        |                  |      |
| Foro di centraggio (DIN 332, forma DR)      | Perçage central (DIN 332, type DR)                    | Z   |    | M5x12,5   | M6x16    | M10x22   |                  |      |
| Albero di uscita liscio                     | Arbre de sortie liscio                                |     |    |   |          |          |                  | B    |
| Lunghezza albero fino allo spallamento      | Longueur de l'arbre à partir de l'épaulement          | L4  |    | 28  | 36       | 50       |                  |      |

<sup>(1)</sup> Le dimensioni sono in mm  
<sup>(2)</sup> Numero stadi riduttore

<sup>(1)</sup> Les dimensions en mm  
<sup>(2)</sup> Nombre d'étage